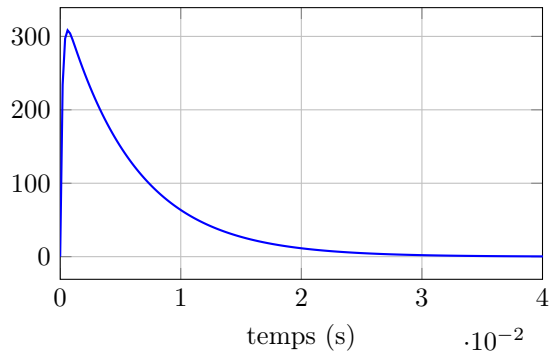
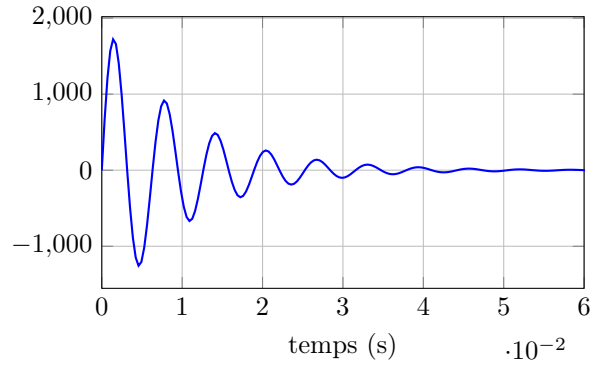


Chapter 1

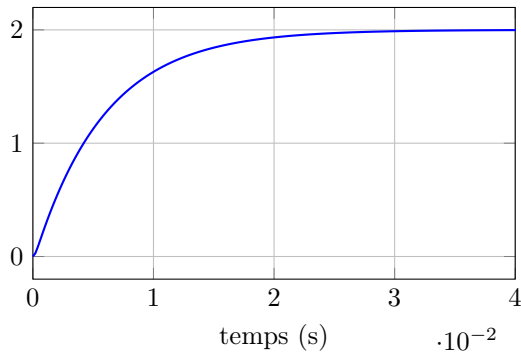
LP



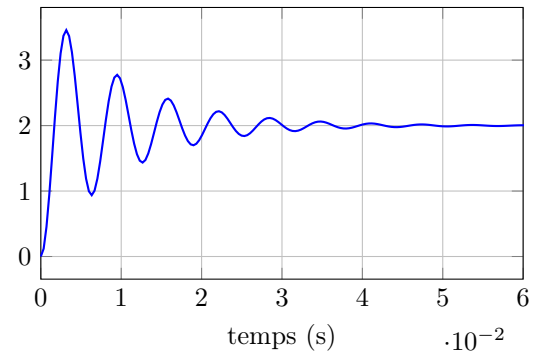
(a) Réponse Impulsionnelle : $m = 0.1$



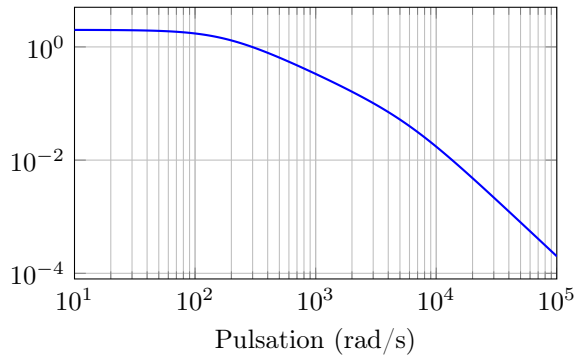
(b) Réponse Impulsionnelle : $m = 3$



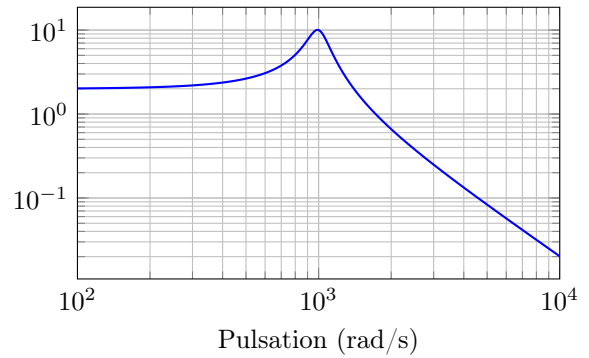
(c) Réponse Indicielle : $m = 0.1$



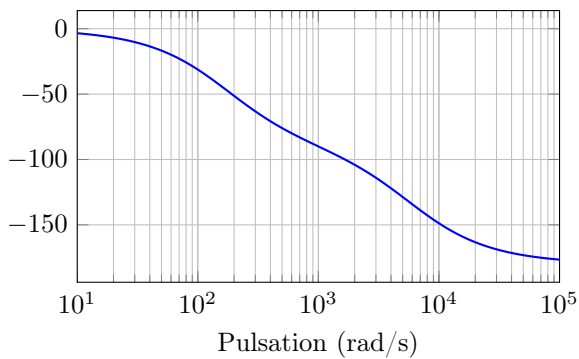
(d) Réponse Indicielle : $m = 3$



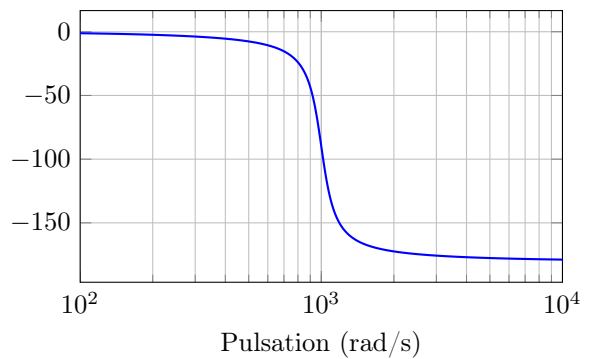
(e) Module de la Réponse Fréquentielle : $m = 0.1$



(f) Module de la Réponse Fréquentielle : $m = 3$



(g) Phase de la Réponse Fréquentielle : $m = 0.1$

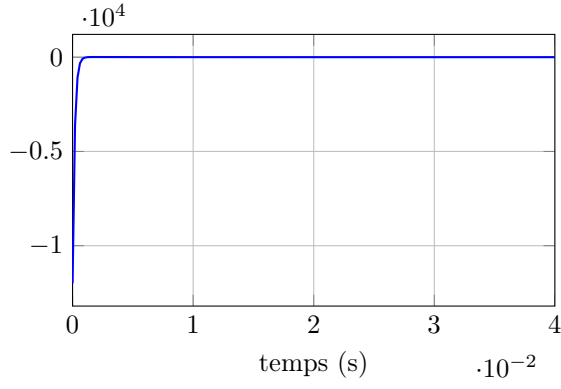


(h) Phase de la Réponse Fréquentielle : $m = 3$

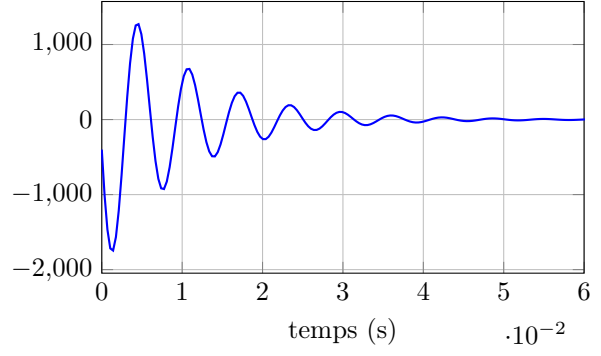
Figure 1.1: Analyse de deux filtres passe-bas de second ordre ($T0 = 2$, $\omega_0 = 1000$ rad/s). Les figures de gauche correspondent au cas où $m = 0.1$ et les figures de droite au cas où $m = 3$.

Chapter 2

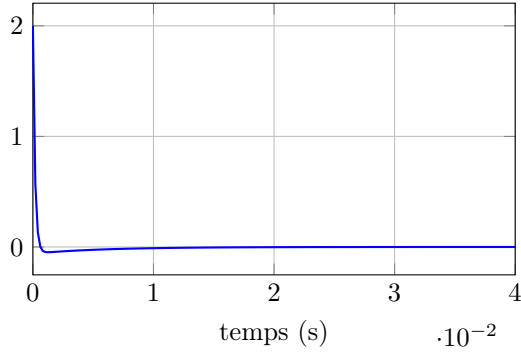
HP



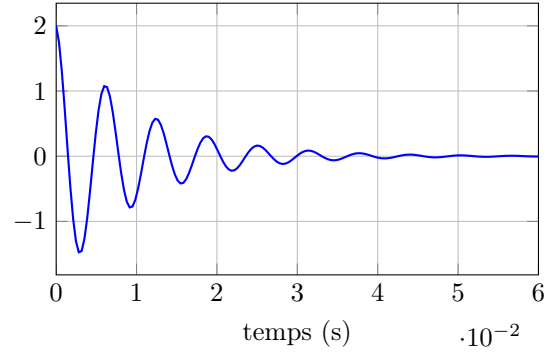
(a) Réponse Impulsionnelle : $m = 0.1$



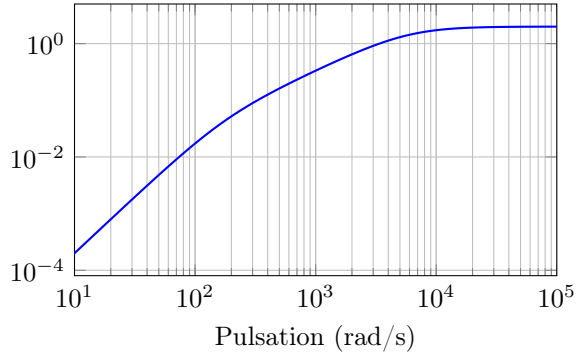
(b) Réponse Impulsionnelle : $m = 3$



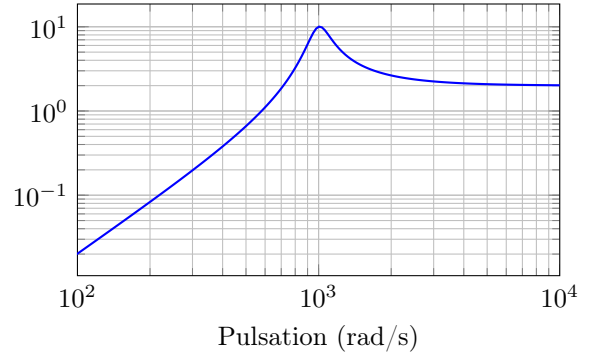
(c) Réponse Indicielle : $m = 0.1$



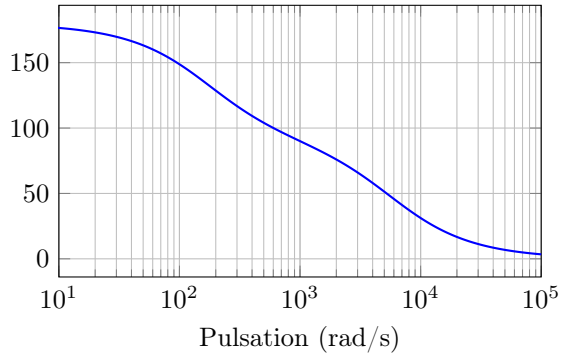
(d) Réponse Indicielle : $m = 3$



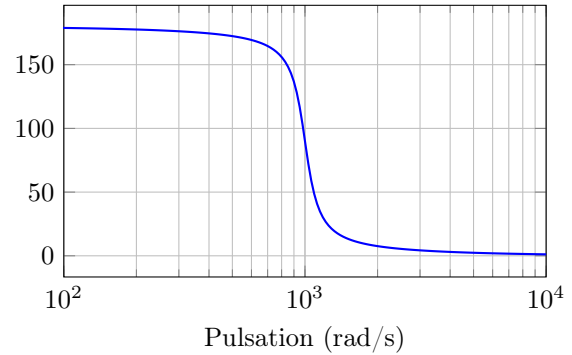
(e) Module de la Réponse Fréquentielle : $m = 0.1$



(f) Module de la Réponse Fréquentielle : $m = 3$



(g) Phase de la Réponse Fréquentielle : $m = 0.1$

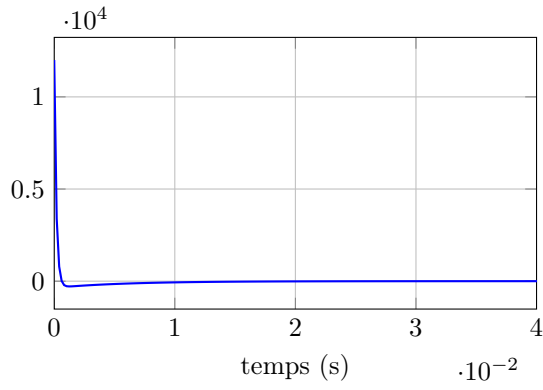


(h) Phase de la Réponse Fréquentielle : $m = 3$

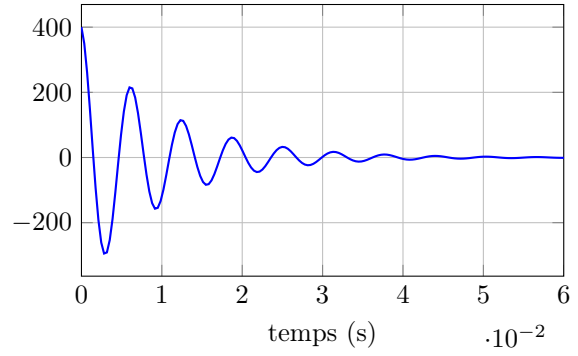
Figure 2.1: Analyse de deux filtres passe-haut de second ordre ($T_\infty = 2$, $\omega_0 = 1000$ rad/s). Les figures de gauche correspondent au cas où $m = 0.1$ et les figures de droite au cas où $m = 3$.

Chapter 3

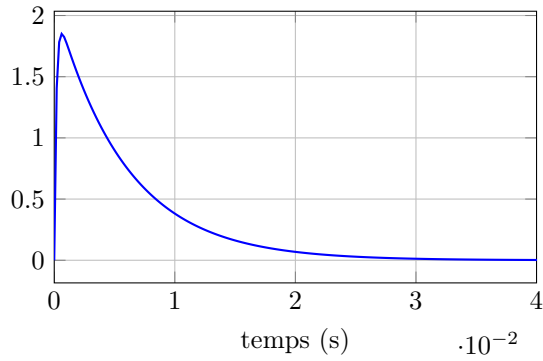
BP



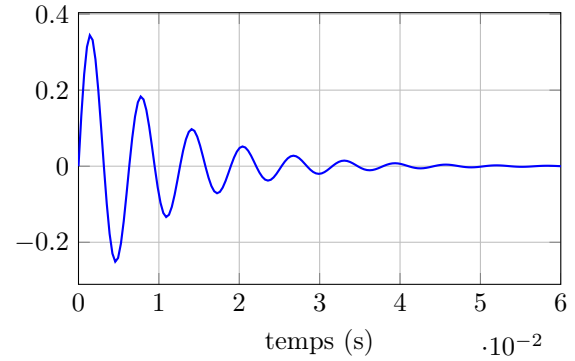
(a) Réponse Impulsionnelle : $m = 0.1$



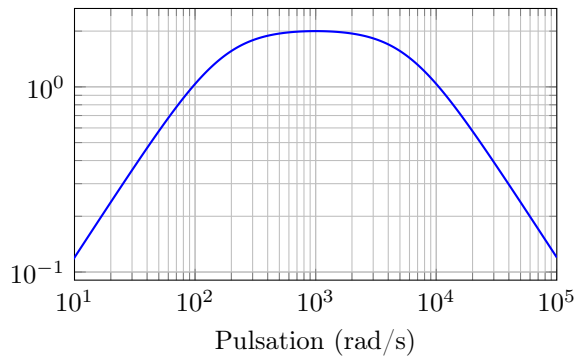
(b) Réponse Impulsionnelle : $m = 3$



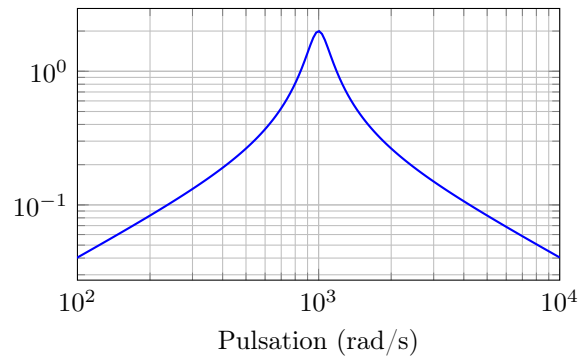
(c) Réponse Indicielle : $m = 0.1$



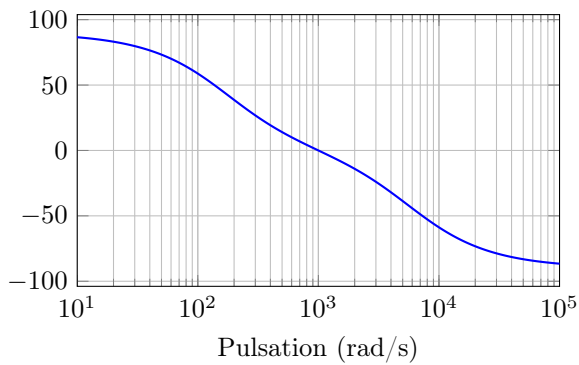
(d) Réponse Indicielle : $m = 3$



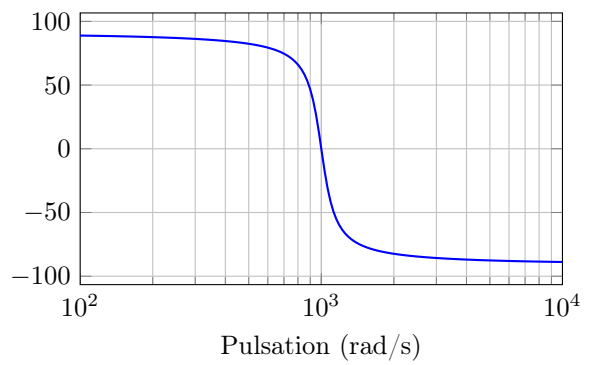
(e) Module de la Réponse Fréquentielle : $m = 0.1$



(f) Module de la Réponse Fréquentielle : $m = 3$



(g) Phase de la Réponse Fréquentielle : $m = 0.1$

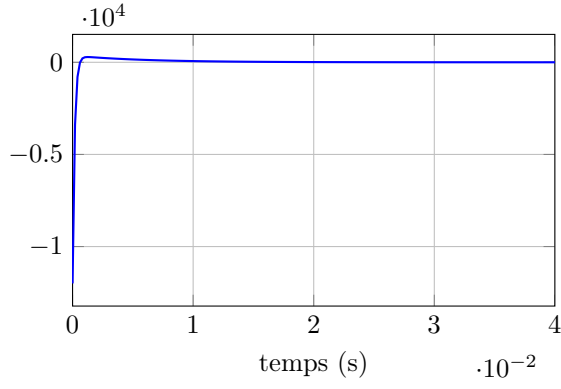


(h) Phase de la Réponse Fréquentielle : $m = 3$

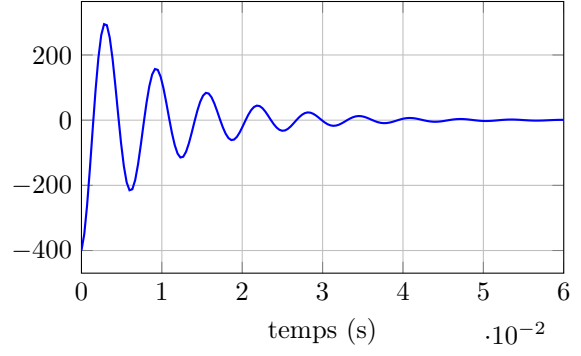
Figure 3.1: Analyse de deux filtres passe-bande de second ordre ($T_m = 2$, $\omega_0 = 1000$ rad/s). Les figures de gauche correspondent au cas où $m = 0.1$ et les figures de droite au cas où $m = 3$.

Chapter 4

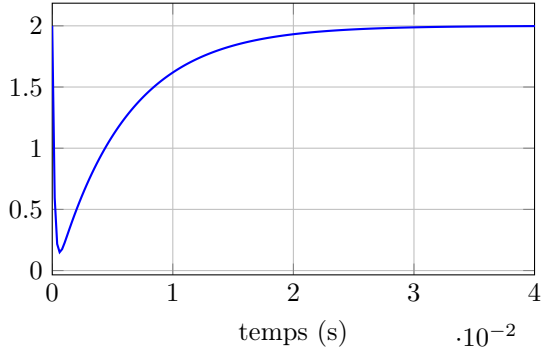
Notch



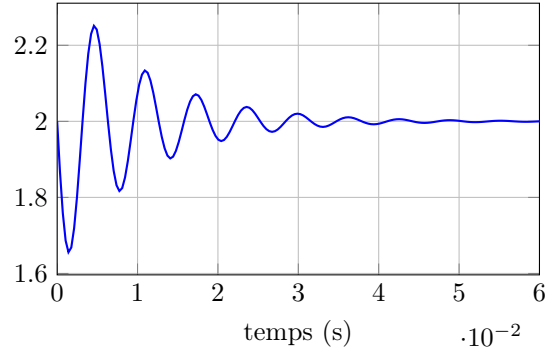
(a) Réponse Impulsionnelle : $m = 0.1$



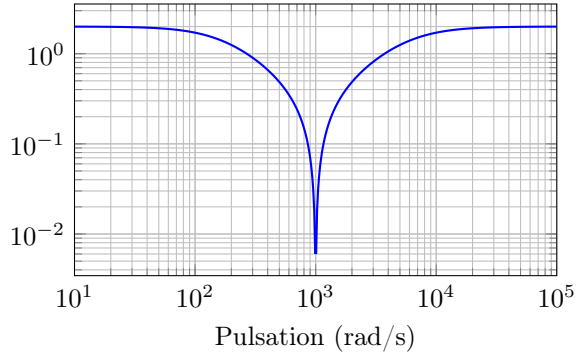
(b) Réponse Impulsionnelle : $m = 3$



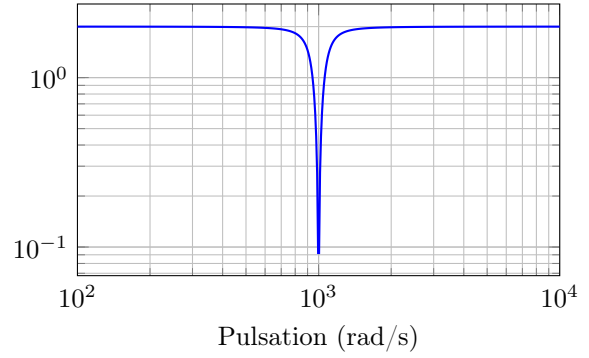
(c) Réponse Indicielle : $m = 0.1$



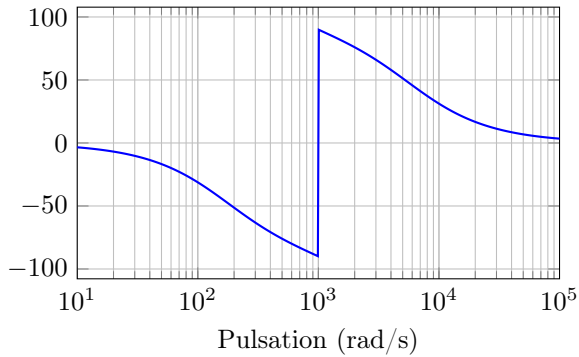
(d) Réponse Indicielle : $m = 3$



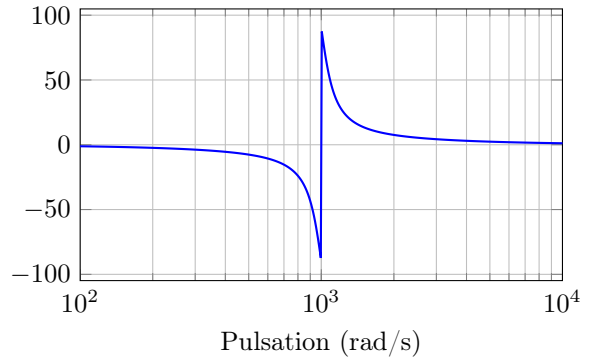
(e) Module de la Réponse Fréquentielle : $m = 0.1$



(f) Module de la Réponse Fréquentielle : $m = 3$



(g) Phase de la Réponse Fréquentielle : $m = 0.1$



(h) Phase de la Réponse Fréquentielle : $m = 3$

Figure 4.1: Analyse de deux filtres rejeteur de second ordre ($T_0 = 2$, $\omega_0 = 1000$ rad/s). Les figures de gauche correspondent au cas où $m = 0.1$ et les figures de droite au cas où $m = 3$.